



AD -9200.- Aspecto macroscópico del pórfido granítico (1).



AD-9_201.- Aspecto macroscópico del granitoide inhomogéneo (6), corte con la roca fresca.



AD-9202.- Aspecto macroscópico del granitoide inhomogéneo (6), la roca presenta la superficie un poco alterada, observándose bien la textura "grano de arroz".



AD-9203.- Aspecto macroscópico del granitoide inhomogéneo (6).



AD-9.204.- Aspecto macroscópico del granitoide inhomogéneo (6). En este punto presenta carácter porfídico.



AD-9205.- Aspecto macroscópico del gneis fémico, glandular que aflora en el núcleo de la sinforma del leucogranito de nódulos (7).



AD-9206.- Aspecto macroscópico del gneis fémico, glandular.



AD-9_207.- Detalle de la foto anterior.



AD-9208.- Aspecto macroscópico del leucogranito de nódulos (7).



AD-9209.- Aspecto macroscópico del leucogranito de nódulos (7), donde se observan restos del leucogneis.



AD-9_210.- Aspecto macroscópico del leucogranito de nódulos (7).



AD-9.211.- Aspecto macroscópico del leucogranito de nódulos (7). Se observan enclaves de rocas metamórficas.



AD-9212.- Aspecto macroscópico de la granodiorita de grano medio, biotítica, porfídica(8a).



AD-9213.- Detalle de la foto anterior.



AD-9_214.- Aspecto macroscópico de la granodiorita de grano medio, biotítica, porfídica (8a). La roca en corte fresco muestra tonalidades azuladas.



AD-9_215.- Aspecto macroscópico de la granodiorita de grano medio, biotítica, porfídica(8a).



AD-9.216.- Aspecto macroscópico del granitoide de grano medio, biotítico porfídico, con cordierita (8c).



AD-9217.- Aspecto macroscópico del granito de grano medio, dos micas (9).



AD-9218

AD-9218.- Aspecto macroscópico del monzogranito de grano medio, biotítico, porfídico (13).



AD-9z19.- Detalle de la foto anterior.



AD-9220.- Aspecto macroscópico del monzogranito de grano medio, biotítico, porfídico
(13) (Facies de El Losar).



AD-9221.- Detalle de la foto anterior, donde se puede apreciar la textura hipidiomorfa de los feldespatos.



AD-9222.- Aspecto macroscópico del monzogranito de grano medio, biotítico, porfídico (13).



AD-9223.- Aspecto macroscópico del monzogranito de grano medio, biotítico, porfídico (13).



AD-9224.- Detalle de la foto anterior.



LR-9600F.- Fenómenos de diferenciación magmática en granodiorita-monzogranito heterogéneo, tipo "Cabeza de Béjar" (13d).



LR-9601F.- Enclave de metasedimentos (15) (parte superior del afloramiento) en granodiorita-monzogranito heterogéneo, tipo "Cabeza de Béjar" (13d) que muestra enclaves decimétricos de rocás básicas-intermedias (12). Se observa un pequeño "stockwork" de diques pegmatíticos que se encuentran encajados exclusivamente en las rocas básicas.



LR-9602F.- Enclave de "cordieritita" en leucogranítos biotíticos cordieríticos (11).



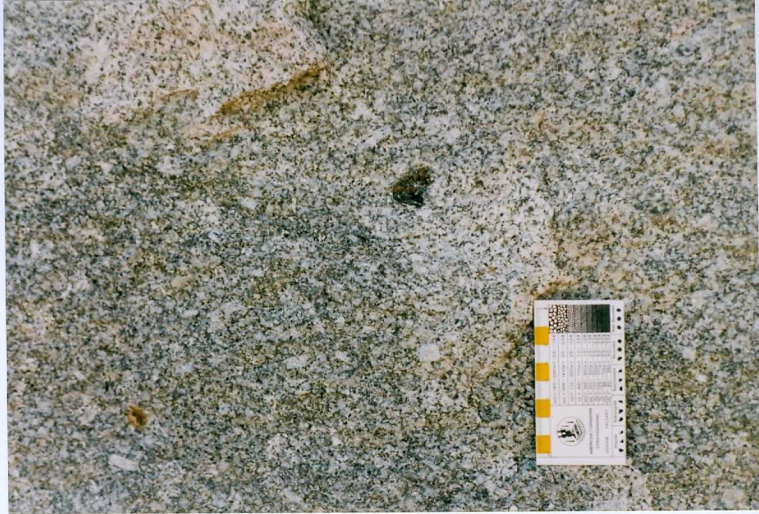
LR-9603F.- Detalle de agregados xeníticos de cuarzo "blindados" por biotita en granodiorita-monzogranito heterogéneo, tipo "Cabeza de Béjar" (13d).



LR-9604F.- Detalle de enclave gneísico en granodiorita-monzogranito con megacristales abundantes (13b).



LR-9605F.- Heterogeneidades en granodiorita-monzogranito con megacristales abundantes (13b).



LR-9606F.- Vista de detalle de heterogeneidades en granodiorita-monzogranito con mega-cristales abundantes (13b) en el mismo afloramiento de la foto LR-9605F.



LR-9607F.-

Afloramientos de leucogranitos de nódulos (7).



LS-9100F.- Vista (hacia el sureste) de la depresión de Perromingo-Valdehijadero.



LS-9101F.- Zona de diferenciaciones en granodiorita-monzogranito heterogéneo, tipo "Cabeza de Béjar" (13d).



LS-9102F.- Enclaves dobles en granodiorita-monzogranito con megacristales abundantes (13b).



LS-9103F.- Fenómenos de mezcla magmática entre la roca de fondo (granodiorita-monzogranito con megacristales abundantes, 13b) y las rocas básicas-intermedias (12).